

АВТОЛОКАЛИЗАЦИЯ ЭКСИТОНА В КВАНТОВОЙ ЯМЕ С ПОЛУМАГНИТНЫМ БАРЬЕРОМ

Кавокин А. В., Кавокин К. В.

Задача о магнитной автолокализации экситона в квантовой яме решалась вариационным методом в адиабатическом приближении. Показано, что свободный магнитный полярона существует в квантовой яме при температурах ниже некоторой критической, определяемой параметрами ямы. Рассчитана энергия связи магнитного полярона для квантовой ямы $CdTe/Cd_{1-x}Mn_xTe$. Сравниваются условия образования магнитного полярона в пространствах разной размерности.

1. Задача о магнитной автолокализации электронов и дырок в объемном полумагнитном полупроводнике рассматривалась в ряде работ [1-3]. В частности, было установлено, что автолокализация становится энергетически выгодной лишь при температуре ниже критической (T_c), причем энергия связи свободного магнитного полярона (FMP) как функция температуры в точке T_c испытывает разрыв. Однако для реальных объемных полупроводников рассчитанные значения T_c не превышают нескольких десятых градуса, что делает наблюдение FMP на эксперименте затруднительным. В то же время были основания ожидать, что пространственная локализация экситона в квантовой яме по одной из координатных осей приведет к значительному повышению T_c .

Вопрос о магнитном поляроне в квантовой яме обсуждался в теоретических работах [5-7]. При этом внимание было сосредоточено на втягивании экситонной волновой функции в полумагнитный барьер за счет обменного взаимодействия для экситона, связанного на флукутации [5, 6] и автолокализованного в плоскости [7], при больших значениях полярона энергии. При этом условия возникновения магнитной автолокализации экситона в плоскости квантовой ямы не обсуждались и вопрос о критической температуре образования FMP оставался открытым. В недавно опубликованной экспериментальной работе [4] сообщается о наблюдении FMP в квантовой яме $CdTe/CdMnTe$ при температуре 1.6 К. В данной работе исследуются условия возникновения и температурная зависимость параметров FMP применительно к такой квантовой яме.

Структуры $CdTe/CdMnTe$ характерны большой величиной отношения высот барьеров в зоне проводимости и валентной зоне [7], что приводит к сильному проникновению дырочной волновой функции в полумагнитный барьер при пренебрежимо малом проникновении электронной. Это позволяет при расчетах пренебречь вкладом электронного спина в обменную энергию взаимодействия со спинами ионов Mn^{2+} , тем более что обменная константа для дырки в $CdMnTe$ в 4 раза превышает электронную. Сильное деформационное расщепление валентной зоны позволяет решать задачу об автолокализации экситона в приближении простых зон, полагая проекцию спина дырки J на ось полярона, которая совпадает (из-за деформационного расщепления) с осью z , равной $\pm 3/2$.

В данной работе мы пользовались также принятым в большинстве работ адиабатическим приближением, т. е. предполагали, что дырка находится на наименее глубоком из зеемановских подуровней, расщепленных обменным полем ионов Mn^{2+} . Кроме того, предполагалось, что энергия пространственной локализации для дырки много больше энергии связи полярона, и, следовательно, волновая функция дырки симметрична относительно центра квантовой ямы, а глубина

ее проникновения в барьер определяется исключительно параметрами ямы, а не полярным эффектом. Оценки показывают, что при ширине ямы больше двух монослоев такое приближение вполне оправдано.

2. Характеристики полярона мы вычисляли вариационным методом, минимизируя его свободную энергию $F = K(r_0) + \tilde{F}(r_0, T)$, где K — кинетическая энергия экситона и \tilde{F} — свободная энергия ионов Mn в обменном поле дырки. Вариационным параметром служил r_0 — радиус волновой функции экситона в плоскости ямы.

В соответствии с нашим предположением о том, что искажение волновой функции дырки по оси z за счет полярного эффекта пренебрежимо мало, пробную волновую функцию можно записать как произведение $\varphi(z)\Psi(r)$. В дальнейшем при численных расчетах мы будем считать $\varphi(z)$ экспоненциальной в барьере, а $\Psi(r)$ — гауссовой.

Соответственно кинетическая энергия будет выглядеть как сумма продольной и поперечной составляющих:

$$K = K_{\parallel} + K_{\perp}, \quad \text{где } K_{\parallel} = -\frac{\hbar^2}{2m_{hh}} \int_{-\infty}^{+\infty} dz \varphi^*(z) \frac{\partial^2}{\partial z^2} \varphi(z) = \text{const}(r_0, T),$$

$$K_{\perp} = -\frac{\hbar^2}{2m_{\perp}} \int_0^{\infty} 2\pi r dr \Psi^*(r) \Delta_r \Psi(r), \quad (1)$$

где m_{hh} — масса тяжелой дырки, $m^{\perp} = m_e + m_h$, m_e — масса электрона, $m_h^{\perp} = 4\left(\frac{1}{m_{hh}} + \frac{3}{m_{lh}}\right)^{-1}$, m_{lh} — масса легкой дырки. Переходя к безразмерному радиусу $\rho = \frac{r}{r_0}$, получаем

$$K_{\perp} = -\frac{\hbar^2}{2m^{\perp}r_0^2} \int_0^{\infty} 2\pi \rho d\rho \Psi_0^*(\rho) \Delta_{\rho} \Psi_0(\rho) = \frac{\hbar^2}{2m^{\perp}r_0^2}, \quad \text{где } \Psi_0(\rho) = r_0 \Psi(r_0 \rho),$$

$$k = -\int_0^{\infty} 2\pi \rho d\rho \Psi_0^*(\rho) \Delta_{\rho} \Psi_0(\rho). \quad (2)$$

Обменная часть свободной энергии в пренебрежении антиферромагнитным взаимодействием есть сумма свободных энергий всех ионов Mn в обменном поле дырки:

$$\tilde{F} = \sum_i (-K_B T \ln Z_i), \quad \text{где } Z_i = \frac{1}{2s+1} \sum_{m=-s}^s \exp\left(\frac{\frac{1}{3}\beta m J |\Psi(r_i)|^2 |\varphi(z_i)|^2}{K_B T}\right) \quad (3)$$

— статсумма i -го иона ($s=5/2$ — спин марганца, $\beta/3$ — константа обменного взаимодействия).

В континуальном приближении заменим суммирование по ионам Mn²⁺ интегрированием по объему ($N_0 x$ — концентрация Mn):

$$\tilde{F} = -K_B T N_0 x^2 \int_{L_z/2}^{\infty} dz \int_0^{\infty} 2\pi r dr \ln \frac{1}{2s+1} \sum_{m=-s}^s \exp\left(\frac{\frac{1}{3}\beta m J |\Psi(r)|^2 |\varphi(z)|^2}{k_B T}\right) =$$

$$= -2K_B T r_0^2 z_0 N_0 x \int_0^{\infty} 2\pi \rho d\rho \int_0^{\infty} d\xi \ln \frac{1}{2s+1} \sum_{m=-s}^s \exp\left(\frac{\frac{1}{3}\beta m J |\Psi_0(\rho)|^2 |\varphi_0(\xi)|^2}{z_0 r_0^2 K_B T}\right). \quad (4)$$

Здесь мы ввели

$$\xi = \frac{z - L_z/2}{z_0}, \quad \varphi_0(\xi) = \frac{\sqrt{z_0} \varphi(z - L_z/2)}{\sqrt{\gamma}}, \quad (5)$$

где z_0 — глубина проникновения дырки в барьер,

$$\gamma = 2 \int_{L_z/2}^{\infty} |\varphi(z)|^2 dz = \frac{1 + \cos(\sigma L_z)}{1 + \cos(\sigma L_z) + z L_z + \frac{\kappa}{\sigma} \sin(\sigma L_z)}$$

имеет смысл вероятности нахождения дырки в барьере, где

$$\sigma = \frac{\sqrt{2m_{hh}E^h}}{\hbar}, \quad \kappa = \frac{\sqrt{2m^{hh}(V^h - E^h)}}{\hbar},$$

здесь V^h — высота барьера в валентной зоне, E^h — энергия уровня размерного квантования тяжелой дырки в квантовой яме.

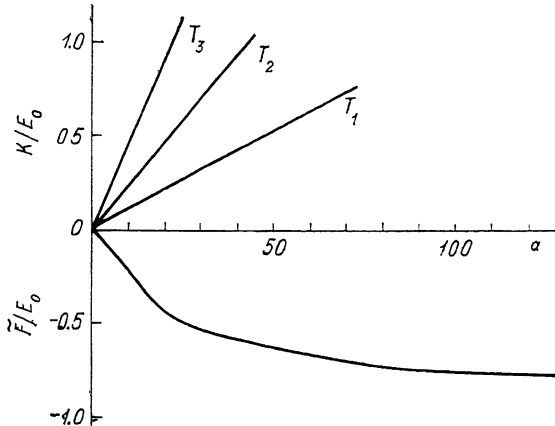


Рис. 1. Зависимость кинетической энергии K и обменной части свободной энергии \tilde{F} от безразмерного параметра $a = \beta\gamma Js / 3r_0^2 z_0 K_B T$.
 E_0 — энергия связи магнитного полярона при $T=0$. $T_1 < T_2 < T_3$.

Удобно перейти к безразмерному вариационному параметру $a = \beta\gamma Js / 3r_0^2 z_0 K_B T$. Тогда обменная часть свободной энергии перепишется как

$$\tilde{F}(a) = -\frac{2}{3} \beta\gamma Js N_0 x \frac{1}{a} \int_0^\infty 2\pi\rho d\rho \int_0^\infty d\xi \ln \frac{1}{2s+1} \sum_{m=-s}^s \exp\left(\frac{m}{s} |\Psi_0(\rho)|^2 |\varphi_0(\xi)|^2 a\right). \quad (6)$$

Выразим через a также и K_\perp :

$$K_\perp = \frac{\hbar^2}{2m^\perp r_0^2} k = \frac{K_B T z_0 k}{\frac{1}{3} \beta\gamma Js} - \frac{\hbar^2}{2m^\perp} a. \quad (7)$$

Исследуем поведение $\tilde{F}(a)$ в предельных случаях.

При $a \rightarrow \infty$

$$\tilde{F} = -\frac{2}{3} \beta\gamma Js N_0 x \frac{1}{a} \int_0^\infty 2\pi\rho d\rho \int_0^\infty d\xi |\Psi_0(\rho)|^2 |\varphi_0(\xi)|^2 a = -\frac{1}{3} \beta\gamma Js N_0 x = -E_0, \quad (8)$$

где E_0 — энергия связи полярона при $T=0$, когда все спины ионов марганца ориентированы обменным полем.

При малых a

$$\tilde{F}(a) \approx -\frac{2}{3} E_0 \int_0^\infty 2\pi\rho d\rho \int_0^\infty d\xi \frac{1}{2s+1} \frac{1}{2} \sum_{m=-s}^s \left(\frac{m}{s}\right)^2 |\Psi_0(\rho)|^4 |\varphi_0(\xi)|^4 a^2 = -a \frac{s+1}{3s} \eta E_0,$$

где $\eta = \int_0^\infty 2\pi\rho d\rho \int_0^\infty d\xi |\Psi_0(\rho)|^4 |\varphi_0(\xi)|^4 \left(\sum_{m=-s}^s m^2 = \frac{1}{3} s(s+1)(2s+1) \right)$. (9)

На рис. 1 приведены зависимости \tilde{F} и k_{\perp} от a . Видно, что свободная энергия $F = k + \tilde{F}$ имеет минимум при a , отличных от 0 (т. е. при конечных радиусах), только когда выполнено условие $T < T_c$, где

$$K_B T_c = \frac{s+1}{3s} \frac{\eta}{k} \frac{\left(\frac{1}{3} \beta J_s N_0\right)^2 x \gamma^2}{\frac{\hbar^2}{2m_{\perp}} N_0 z_0}. \quad (10)$$

При $T = T_c$ энергия полярона обращается в 0, а его радиус — в бесконечность.

Построив путем численного взятия интеграла зависимость $\tilde{F}(a)$, для каждой температуры найдем оптимальное значение $a = a_0$.

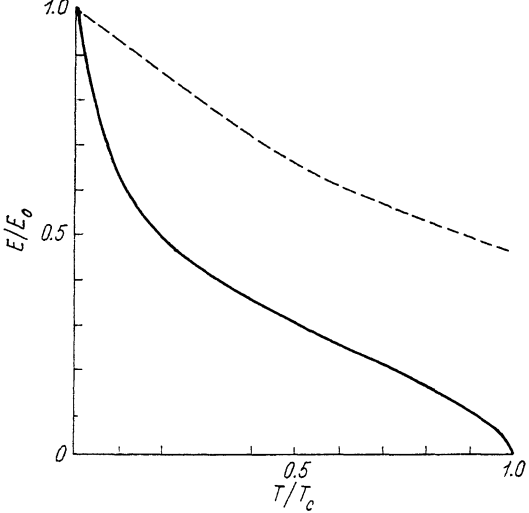


Рис. 2. Зависимость энергии связи FMP от температуры.

T_c — критическая температура разрушения FMP, E_0 — энергия связи FMP при $T=0$. Штрихами показана аналогичная зависимость для трехмерного FMP [3].

Энергию можно выразить через a_0 следующим образом:

$$\begin{aligned} E = \frac{\partial}{\partial \left(\frac{1}{T}\right)} \left(\frac{1}{T} F \right) \Big|_{r_0=r_0^{\text{opt}}} &= K_{\perp} + \frac{\partial}{\partial \left(\frac{1}{T}\right)} \left(\frac{1}{T} \tilde{F} \right) \Big|_{r_0=r_0^{\text{opt}}} = \left(K_{\perp}(a) + \frac{\partial}{\partial a} (a \tilde{F}(a)) \right) \Big|_{a=a_0} = \\ &= \tilde{F}(a_0) + a \frac{\partial F}{\partial a} \Big|_{a=a_0} = \tilde{F}(a_0). \end{aligned} \quad (11)$$

Здесь использованы условие экстремума $\frac{\partial F}{\partial a} \Big|_{a=a_0} = 0$ и линейная зависимость кинетической энергии от a .

На рис. 2 приведена универсальная зависимость безразмерной энергии связи полярона E/E_0 от безразмерной температуры T/T_c . Нетрудно показать, что при T , стремящейся к T_c , энергия связи обращается в 0 как $(T_c - T)^{1/2}$. На рис. 3 изображена зависимость безразмерного обратного радиуса локализации R_0/r_0 , где R_0 — константа, $\frac{\hbar^2}{2m_{\perp}R_0^2} = \frac{s+1}{3s} \frac{\eta}{k} E_0$.

Видно, что r_0 обращается в бесконечность при $T=0$ и $T=T_c$. В первом случае волновая функция дырки при любой конфигурации поляризует ионы Mn^{2+} по всему пространству. Следовательно, выгодно равномерно размазать ее, устремив r_0 в бесконечность, тем самым обращая в 0 кинетическую энергию. Во втором случае радиус локализации обращается в бесконечность при стремлении к 0 поляронной энергии.

На рис. 4 приведены зависимости критической температуры и E_0 от ширины квантовой ямы $CdTe/Cd_{1-x}Mn_xTe$. При этом функции $\Psi_0(\rho)$ и $\varphi_0(\xi)$ брались в виде

$$\varphi_0(\xi) = e^{-\xi}, \quad \Psi_0(\rho) = \sqrt{\frac{2}{\pi}} e^{-\rho^2}. \quad (12)$$

Использовались параметры $V^h = 50$ мэВ, $x = 0.10$:

$$N_0 = 1.472 \cdot 10^{-2} \text{ \AA}^{-3}, \quad 3N_0 = 880 \text{ мэВ.}$$

Обсудим теперь условия применимости адиабатического приближения для двумерного FMP. При $T \rightarrow T_c$, $E \rightarrow 0$, и, вообще говоря, нельзя считать, что дырка находится на одном зеемановском подуровне в обменном поле ионов Mn^{2+} . Однако, как видно из рис. 2, 4, при реальных параметрах ям поляронная энергия E сравнивается с $K_B T_c$ лишь при $\frac{T_c - T}{T_c} \leq 10^{-2}$, т. е. адиабатическое приближение применимо практически во всей области существования FMP.

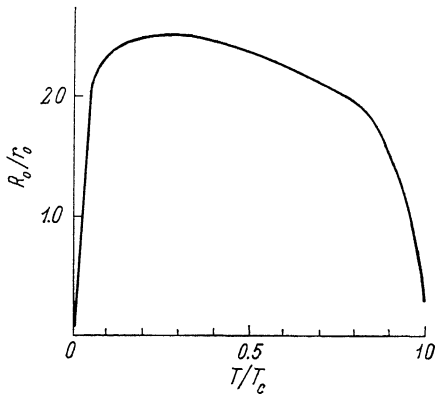


Рис. 3. Зависимость безразмерного обратного радиуса локализации FMP R_0/r_0 от температуры.

$$R_0 = \left(\frac{3s}{s+1} \frac{\hbar^2}{\eta 2m^\perp E_0} \right)^{1/2}, \quad T_c \text{ — критическая темпера-} \\ \text{турата разрушения FMP.}$$

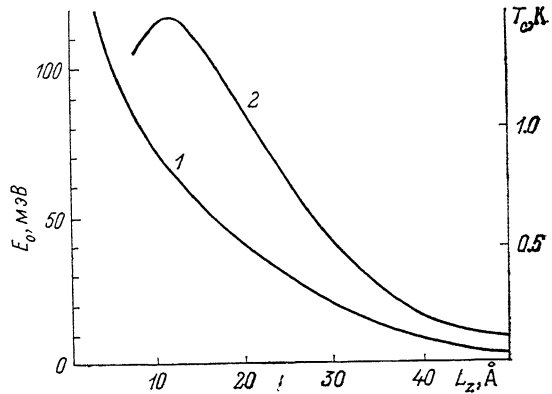


Рис. 4. Зависимость энергии связи FMP при нулевой температуре E_0 (1) и критической температуре разрушения FMP T_c от ширины ямы L_z (2).

3. В данной работе расчеты температурной зависимости энергии связи магнитного полярона выполнены для парамагнитной фазы $Cd_{1-x}Mn_xTe$, что ограничивает их применимость при составах $x > 0.15$, когда система ионов Mn^{2+} переходит в спин-стекольную фазу. Однако важнейшая характеристика FMP — критическая температура T_c — выражается через магнитную восприимчивость системы ионов Mn^{2+} . Действительно, вблизи T_c , когда радиус полярона велик и обменное поле, создаваемое дыркой на ионах марганца, мало, можно записать свободную энергию как

$$F = K - \frac{1}{2} \chi \int d^3r H_{ex}^2, \quad (13)$$

$$H_{ex} = \frac{\frac{1}{3} \beta J |\Psi(r)|^2 |\varphi(z)|^2}{\mu_B g_{Mn}}$$

— обменное поле, создаваемое дыркой, χ — магнитная восприимчивость, μ_B — магнетон Бора, g_{Mn} — g -фактор иона марганца. Отсюда видно, что системе выгодно понизить свою свободную энергию за счет локализации экситона при

$$\chi > \chi_c = 2 \frac{k}{\eta} \frac{\hbar^2}{2m^\perp} \frac{(\mu_B g_{Mn})^2 z_0}{\left(\frac{1}{3} \beta J \right)^2 \gamma^2}. \quad (14)$$

Зная зависимость $\chi(T)$ (которая может быть измерена экспериментально для любой фазы), можно из (14) найти T_c .

4. В заключение остановимся на качественных различиях между двумерным FMP и рассмотренным в работах [1-3] трехмерным FMP. В том и другом случае существует критическая температура разрушения полярона. Однако наблюдаются принципиальные различия в поведении энергии связи FMP как функции температуры при $T \rightarrow T_c$ (рис. 2). В трехмерном случае наблюдается разрыв, в то время как в двумерном энергия связи обращается в 0 по корневому закону. Это вытекает из различного вида зависимости свободной энергии от радиуса локализации FMP в пространствах разной размерности.

Действительно, обменная часть свободной энергии при любой размерности пространства одинаковым образом зависит от параметра $a \sim (VT)^{-1}$, где V —

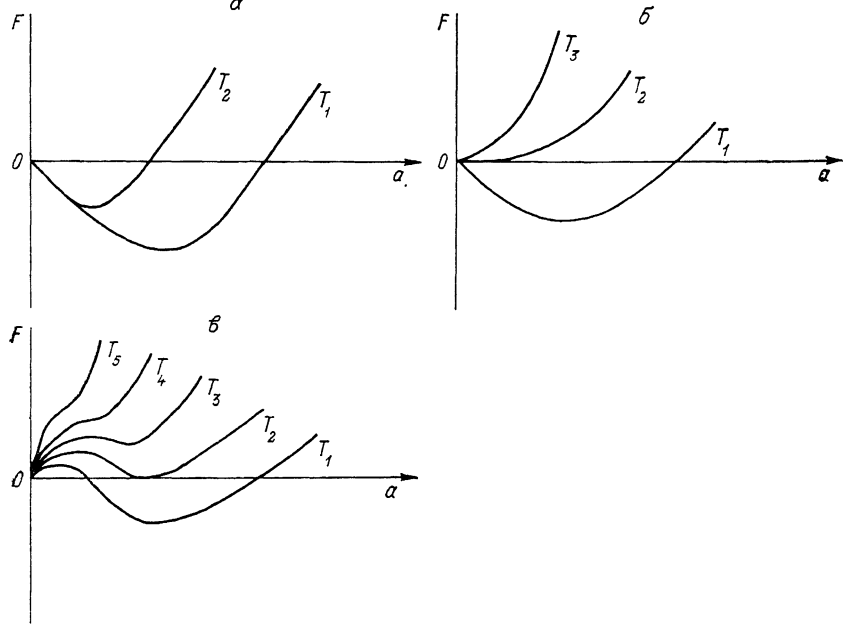


Рис. 5. Зависимость свободной энергии магнитного полярона F от параметра $a \sim (r_0^d T)^{-1}$ для одномерного (α), двумерного (β) и трехмерного (γ) случаев.

α — $T_1 < T_2$, $T_c = \infty$; β — $T_1 < T_2 < T_3$, $T_2 = T_c$; γ — $T_1 < T_2 < T_3 < T_4 < T_5$, $T_2 = T_c$, $T_4 = T_{c\perp}$.

характерный объем, занимаемый волновой функцией. $V \sim r_0^d$, где d — размерность пространства, r_0 — радиус локализации. Кинетическая энергия всегда пропорциональна r_0^{-2} и, следовательно, зависит от a как $(aT)^{2/d}$. На рис. 5 приведены зависимости полной свободной энергии, являющейся суммой кинетической и обменной частей, от a для одномерного (α), двумерного (β) и трехмерного (γ) случаев. Видно, что в одномерном случае автолокализованное состояние существует при любой конечной температуре и является стабильным. Двумерный FMP имеет критическую температуру T_c , выше которой не существует локализованного состояния. В трехмерном случае при $T = T_c$ автолокализованное состояние не исчезает, но становится метастабильным (при этом $E \neq 0$) и существует вплоть до некоторой температуры $T_{c\perp}$.

В заключение авторы выражают глубокую благодарность И. А. Меркулову, Ю. Г. Кусраеву и Е. Л. Ивченко за полезное обсуждение.

Список литературы

- [1] Кривоглаз М. А., Трушенко А. А. // ФТТ. 1969. Т. 11. В. 11. С. 3119—3131.
- [2] Кривоглаз М. А. // УФН. 1973. Т. 111. В. 4. С. 617—654.
- [3] Берковская Ю. Ф., Гельмонт Б. Л., Цидильковский Э. И. // ФТП. 1988. Т. 22. В. 5. С. 855—862.

- [4] Yakovlev D. R., Ossau W., Landwehr G., Bicknell-Tassius R. N., Waag A., Uraltsev I. N. // Sol. St. Commun. 1990. V. 76. N 3. P. 325—329.
- [5] Ji-Wei Wu, Nurmikko A. V., Quinn J. J. // Sol. St. Commun. 1986. V. 57. N 11. P. 853—856.
- [6] Ji-Wei Wu, Nurmikko A. V., Quinn J. J. / Phys. Rev. B. 1986. V. 34. N 2. P. 1080—1084.
- [7] Gonsales da Silva C. E. T. / Phys. Rev. B 1986. V. 33. N 4. P. 2923—2925.

Физико-технический институт
им. А. Ф. Иоффе АН СССР
Санкт-Петербург

Получена 12.05.1991
Принята к печати 17.06.1991
